

# Гашение вибраций в нежестком элементе конструкции макета

*А.И.Шестопёров*

Научный руководитель

к.ф.-м.н., доц. *С.С.Ткачев*

Москва

2017 г.

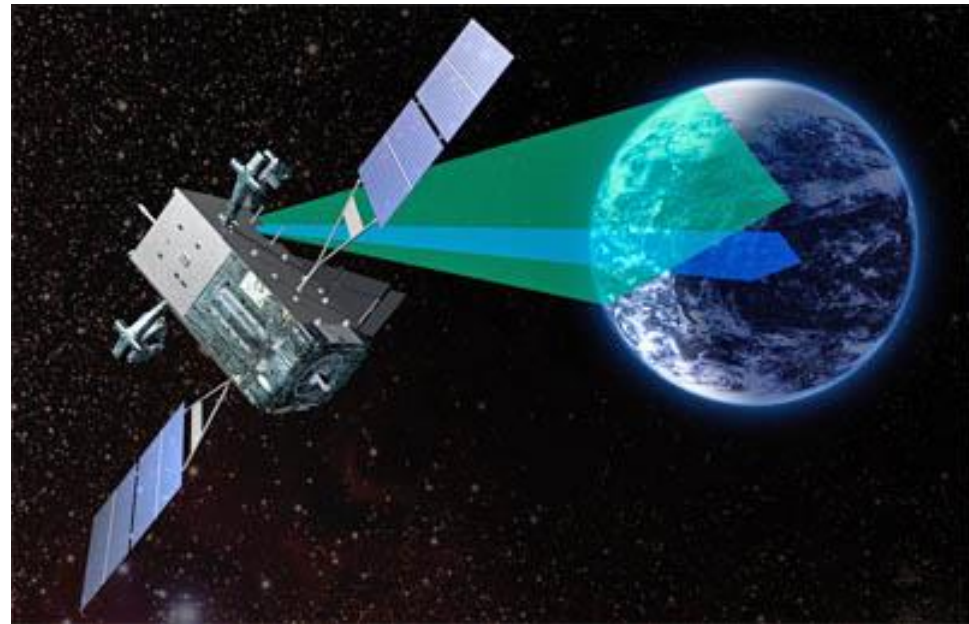


# Содержание

- Постановка задачи и ее актуальность
- Описание вибраций произвольного нежесткого элемента
- Математическая модель макета космического аппарата с крупногабаритным нежестким элементом конструкции (КА с КНЭК)
- Линейный квадратичный регулятор (LQR).
- Редукция модели управления. Предотвращение возмущения неуправляемых учитываемых мод (MESS)
- Построение LQR и MESS алгоритмов управления
- Компьютерное моделирование
- Лабораторные испытания
- Заключение
- План дальнейшей работы

# Актуальность задачи

- Крупногабаритные нежесткие элементы конструкции (КНЭК) оказывают значительное влияние на угловое движение КА.
- При описании относительного движения КА с КНЭК важнейшим аспектом является учет и гашение вибраций, возникающих в нежестком элементе во время совершения маневра.
- Чтобы судить об эффективности алгоритмов гашения вибраций в КНЭК спутника необходимо провести их лабораторное тестирование.



# Цель работы и постановка задачи

Цель работы: обеспечить математическую базу для проведения лабораторных экспериментов на макете с КНЭЖ.

- Макет состоит из основного тела, предполагаемого твердым, и нежесткого стержня, прикрепленного к основному телу при помощи одностепенного шарнира
- Рассматривается задача гашения вибраций в нежестком элементе и стабилизации макета, движущегося по столу.
- Управление макетом осуществляется только при помощи четырех вентиляторов, расположенных на основном теле макета.

# Системы координат

$OXYZ$  – инерциальная СК;

$O_sxyz$  – СК, связанная с корпусом основного тела;

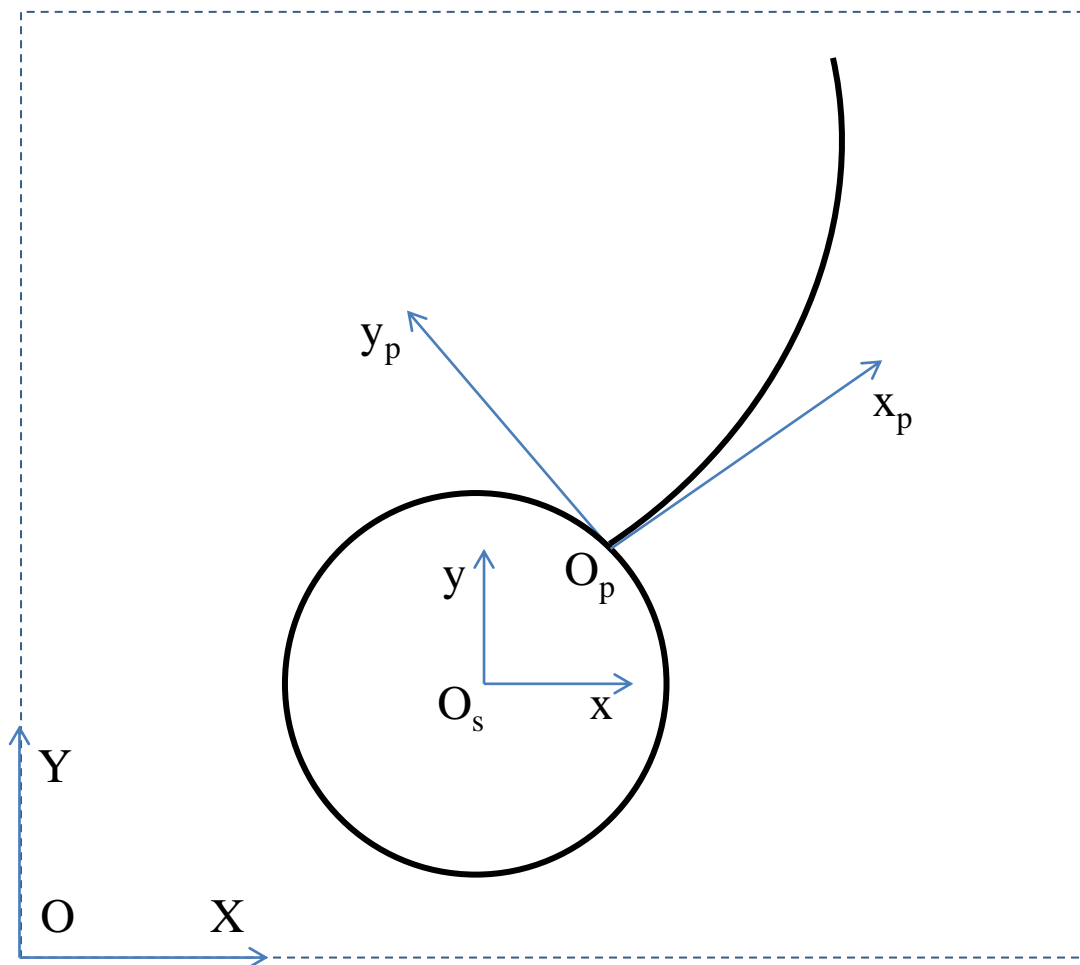
$O_p x_p y_p z_p$  – СК, связанная со стержнем.

Оси  $OZ, O_s z, O_p z_p$

$\perp$  плоскости рисунка.

Последовательность переходов между СК:

$OXYZ \rightarrow O_sxyz \rightarrow O_p x_p y_p z_p$ .



# Уравнения углового движения макета

$$\mathbf{S} \begin{pmatrix} \dot{\boldsymbol{\omega}} \\ \dot{\psi} \\ \dot{\mathbf{q}} \end{pmatrix} = \begin{pmatrix} \mathbf{T}_s - \mathbf{N}_{\omega p} - \mathbf{f}_{\omega p} \\ -\mathbf{e}^T (\mathbf{N}_{\varphi p} + \mathbf{f}_{\varphi p}) + \mathbf{M}_{p1} \\ -\mathbf{N}_p - \mathbf{f}_p \end{pmatrix} = \mathbf{N}(\boldsymbol{\omega}, \psi, \mathbf{q}, \dot{\mathbf{q}}), \text{ где}$$

$$\mathbf{S} = \begin{pmatrix} \mathbf{J} & \mathbf{S}_{\omega\varphi p} \mathbf{e} & \mathbf{S}_{\omega p} \\ \mathbf{e}^T \mathbf{S}_{\omega\varphi p}^T & \mathbf{e}^T \mathbf{J}_{\varphi p} \mathbf{e} & \mathbf{e}^T \mathbf{S}_{p\varphi p} \\ \mathbf{S}_{\omega p}^T & \mathbf{S}_{p\varphi p}^T \mathbf{e} & \mathbf{M}_p \end{pmatrix},$$

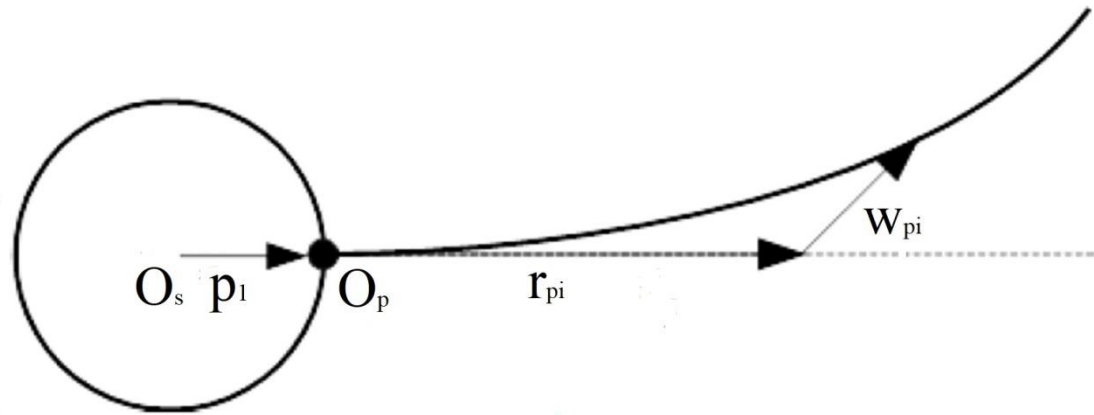
$$\dot{Q}_3 = \frac{1}{2} Q_0 \boldsymbol{\omega}, \quad Q_0^2 + Q_3^2 = 1, \quad \dot{\varphi}_p = \psi_p,$$

$\boldsymbol{\omega} = (0 \quad 0 \quad \omega)^T$  – угловая скорость твердого тела;  $\varphi$  – угол поворота в шарнире;

$\mathbf{r}_{pi}$  – р.-в.  $i$ -ой точки недеформированного стержня относительно точки крепления;

$\mathbf{w}_{pi}$  – смещение  $i$ -ой точки тела, вызванное упругими деформациями;

В случае КА с КНЭК на орбите, уравнения получены в работах Ткачева.



# Описание вибраций произвольного нежесткого элемента

$$M(P) \frac{\partial^2 \mathbf{w}(P,t)}{\partial t^2} + L(P) \mathbf{w}(P,t) = \mathbf{0}, B_i \mathbf{w}(P,t) = 0 \left( i = \overline{1, n} \right) - \text{граничные условия}$$

$$\mathbf{w}(P,t) = \sum_{r=1}^{\infty} \phi_r(P) q_r(t) - \text{метод разделения переменных, где}$$

$\phi_r(P)$  – форма  $r$ -ой собственной моды колебаний,

$q_r(t)$  –  $r$ -ая амплитуда собственной моды колебаний.

$$L(P) \phi_r(P) = \omega_r^2 M(P) \phi_r(P), r = \overline{1, \infty} - \text{задача на собств. зн., где}$$

$\omega_r^2$  –  $r$ -ая частота колебаний.

$$\ddot{q}_r(t) + \omega_r^2 q_r(t) = 0, r = \overline{1, \infty} - \text{преобразованные уравнения.}$$

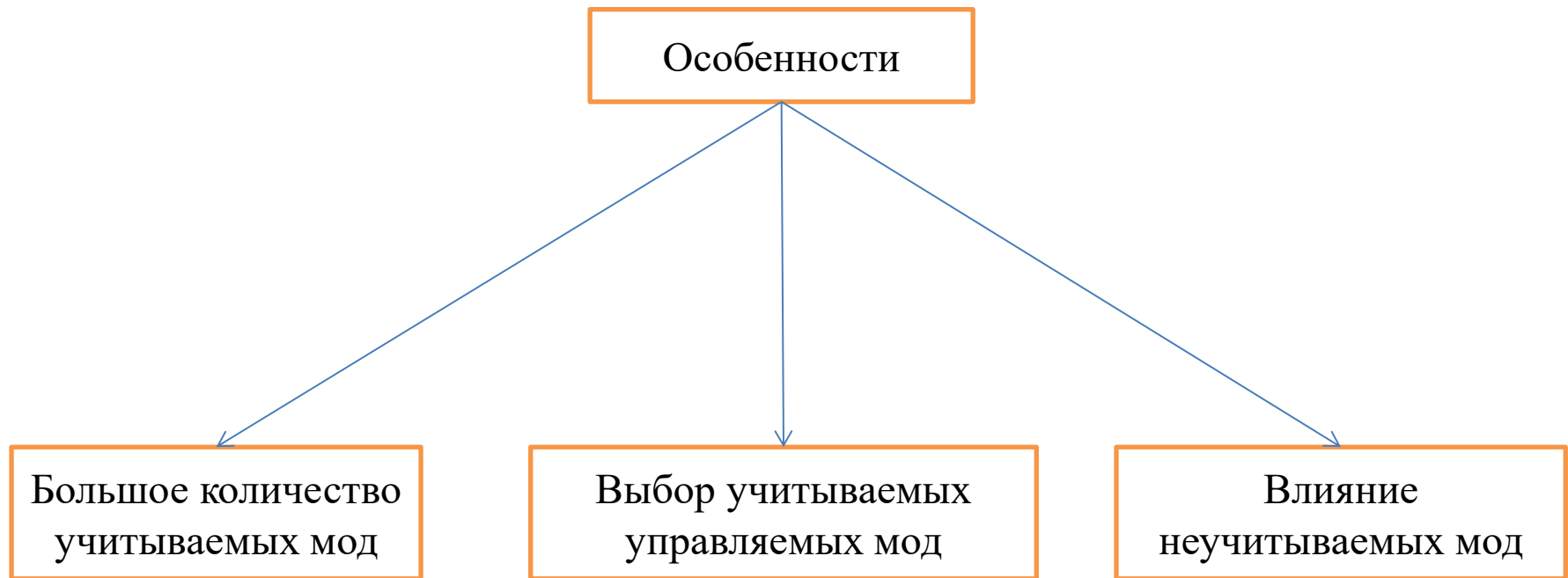
В результате моделирования в среде NASTRAN получаем:

$$\mathbf{w}_i = \mathbf{A}_i(\mathbf{r}_i) \mathbf{q}(t), \text{ где } \mathbf{q} - \text{вектор амплитуд } q_r(t) \text{ собственных мод}$$

колебаний,  $\mathbf{A}_i(\mathbf{r}_i)$  – матрица собственных мод колебаний, задающая

численно векторы  $\phi_r(\mathbf{r}_i), r = \overline{1, N}$  в  $i$ -ой точке нежесткого элемента.

# Особенности построения управляющих воздействий для КА с КНЭК



Классификация мод колебаний модели (Meirovitch):

- учитываемые управляемые моды
- учитываемые неуправляемые (остаточные) моды
- неучитываемые моды



# Линеаризованные уравнения движения макета

Вектор состояния:  $\mathbf{x} = \left( R_{sx} \quad R_{sy} \quad V_{sx} \quad V_{sy} \quad Q_3 \quad \omega \quad \mathbf{q} \quad \dot{\mathbf{q}} \quad \varphi \quad \psi \right)^T$ .

Вектор управления:  $\mathbf{u} = \left( F_{0x} \quad F_{0y} \quad T_{sz} \right)^T$ , где

$T_{sz}$  – момент управляющих сил;  $F_{0x}, F_{0y}$  – управляющие силы.

Заданное положение:  $\mathbf{x}_f = \mathbf{0}_{(8+2n) \times 1}$ .

Предположения:

1. На макет действуют только управляющие воздействия.
2. Управляющие воздействия действуют только на жесткое тело.

Уравнения движения в пространстве состояний:

$$\dot{\mathbf{x}} = \hat{\mathbf{S}}_{lin}^{-1} \hat{\mathbf{A}}_{lin} \mathbf{x} + \hat{\mathbf{S}}_{lin}^{-1} \hat{\mathbf{B}}_{lin} \mathbf{u} \triangleq \mathbf{A}_{lin}^{cont} \mathbf{x} + \mathbf{B}_{lin}^{cont} \mathbf{u}.$$

# Линейный квадратичный регулятор (LQR). Постановка задачи и реализация

Пусть  $\mathbf{Q} \geq 0$ ,  $\mathbf{R} > 0$ ,  $n = \dim \mathbf{x}$ .

$$J = \int_0^{\infty} (\mathbf{x}^T(t) \mathbf{Q} \mathbf{x}(t) + \mathbf{u}^T(t) \mathbf{R} \mathbf{u}(t)) dt \rightarrow \min,$$

при условии  $\dot{\mathbf{x}} = \hat{\mathbf{S}}_{lin}^{-1} \hat{\mathbf{A}}_{lin} \mathbf{x} + \hat{\mathbf{S}}_{lin}^{-1} \hat{\mathbf{B}}_{lin} \mathbf{u} \triangleq \mathbf{A}_{lin}^{cont} \mathbf{x} + \mathbf{B}_{lin}^{cont} \mathbf{u}$ .

Закон управления :  $\mathbf{u} = \mathbf{K} \mathbf{x}$ .

Матрица усиления LQR :  $\mathbf{K} = -\mathbf{R}_{lin}^{-1} (\mathbf{B}_{lin}^{cont})^T \mathbf{P}_{lin}$ .

Уравнения Риккати:  $\mathbf{0} = (\mathbf{A}_{lin}^{cont})^T \mathbf{P}_{lin} + \mathbf{P}_{lin} \mathbf{A}_{lin}^{cont} + \mathbf{Q} - \mathbf{P}_{lin} \mathbf{B}_{lin}^{cont} \mathbf{R}^{-1} (\mathbf{B}_{lin}^{cont})^T \mathbf{P}_{lin}$ .

# Редукция модели управления. Предотвращение возмущения неуправляемых учитываемых мод

$$\dot{\mathbf{x}} = \mathbf{A}\mathbf{x} + \mathbf{B}\mathbf{u} \rightarrow \begin{bmatrix} \dot{\mathbf{x}}_c \\ \dot{\mathbf{x}}_r \end{bmatrix} = \begin{bmatrix} \mathbf{A}_{11} & \mathbf{A}_{12} \\ \mathbf{A}_{21} & \mathbf{A}_{22} \end{bmatrix} \begin{bmatrix} \mathbf{x}_c \\ \mathbf{x}_r \end{bmatrix} + \begin{bmatrix} \mathbf{B}_c \\ \mathbf{B}_r \end{bmatrix} \mathbf{u},$$

$\mathbf{x}_c = (\mathbf{R}_{sx} \quad \mathbf{R}_{sy} \quad \mathbf{V}_{sx} \quad \mathbf{V}_{sy} \quad \mathbf{Q}_3 \quad \omega)^T$  – вектор управляемых состояний.

$\mathbf{x}_r = (\mathbf{q} \quad \dot{\mathbf{q}} \quad \varphi \quad \psi)^T$  – вектор остаточных состояний.

Требуется:  $J_{cont} = \int_0^{\infty} [\mathbf{x}_c^T \mathbf{Q}_c \mathbf{x}_c + \mathbf{u}^T \mathbf{R} \mathbf{u}] dt \rightarrow \min$  при условии  $\dot{\mathbf{x}}_c = \mathbf{A}_c \mathbf{x}_c + \mathbf{B}_c \mathbf{u}$ .

Используя управление с обратной связью  $\mathbf{u} = -\mathbf{K}_c \mathbf{x}_c$ , получаем:

$$\begin{bmatrix} \dot{\mathbf{x}}_c \\ \dot{\mathbf{x}}_r \end{bmatrix} = \begin{bmatrix} \mathbf{A}_{11} - \mathbf{B}_c \mathbf{K}_c & \mathbf{A}_{12} \\ \mathbf{A}_{21} - \mathbf{B}_r \mathbf{K}_c & \mathbf{A}_{22} \end{bmatrix} \begin{bmatrix} \mathbf{x}_c \\ \mathbf{x}_r \end{bmatrix}.$$

Если  $\mathbf{B}_r \mathbf{K}_c \neq 0$  ( $\mathbf{B}_r \mathbf{u} \neq 0$ ) – возмущаются остаточные моды.

Необходимо добиться  $\mathbf{B}_r \mathbf{K}_c \rightarrow 0$ .

Концепция изложена в работах *Balas M.J.*

# Model Error Sensitivity suppression (MESS)

Основа концепции : прямое расширение функционала, за счет члена  $\mathbf{B}_r \mathbf{u}$ .

Строим управление так, что:

$$0 \equiv \dot{\mathbf{x}}_r = \mathbf{A}_{21} \mathbf{x}_c + \mathbf{A}_{22} \mathbf{x}_r + \mathbf{B}_r \mathbf{u} \Rightarrow \mathbf{x}_r = -\mathbf{A}_{22}^{-1} (\mathbf{A}_{21} \mathbf{x}_c + \mathbf{B}_r \mathbf{u}) \triangleq -\mathbf{A}_x \mathbf{x}_c - \mathbf{A}_u \mathbf{u}.$$

$$J_{red} = \int_0^{\infty} \left( \mathbf{x}_c^T (\mathbf{Q}_c + \mathbf{A}_x^T \mathbf{Q}_r \mathbf{A}_x) \mathbf{x}_c + 2 \mathbf{x}_c^T \mathbf{A}_x^T \mathbf{Q}_r \mathbf{A}_u \mathbf{u} + \mathbf{u}^T (\mathbf{R} + \mathbf{A}_u^T \mathbf{Q}_r \mathbf{A}_u) \mathbf{u} \right) dt \rightarrow \min,$$

при условии  $\dot{\mathbf{x}}_c = (\mathbf{A}_{11} - \mathbf{A}_{12} \mathbf{A}_{22}^{-1} \mathbf{A}_{21}) \mathbf{x}_c + (\mathbf{B}_c - \mathbf{A}_{12} \mathbf{A}_{22}^{-1} \mathbf{B}_r) \mathbf{u}$ ,

где  $\mathbf{Q}_c, \mathbf{R}_c, \mathbf{Q}_s$  – задаем сами.

Закон управления :  $\mathbf{u} = -\mathbf{K} \mathbf{x} = \mathbf{R}^{-1} (\mathbf{B}_{red}^T \mathbf{P}_{red} + \mathbf{N}_{red}^T) \mathbf{x}$ ,

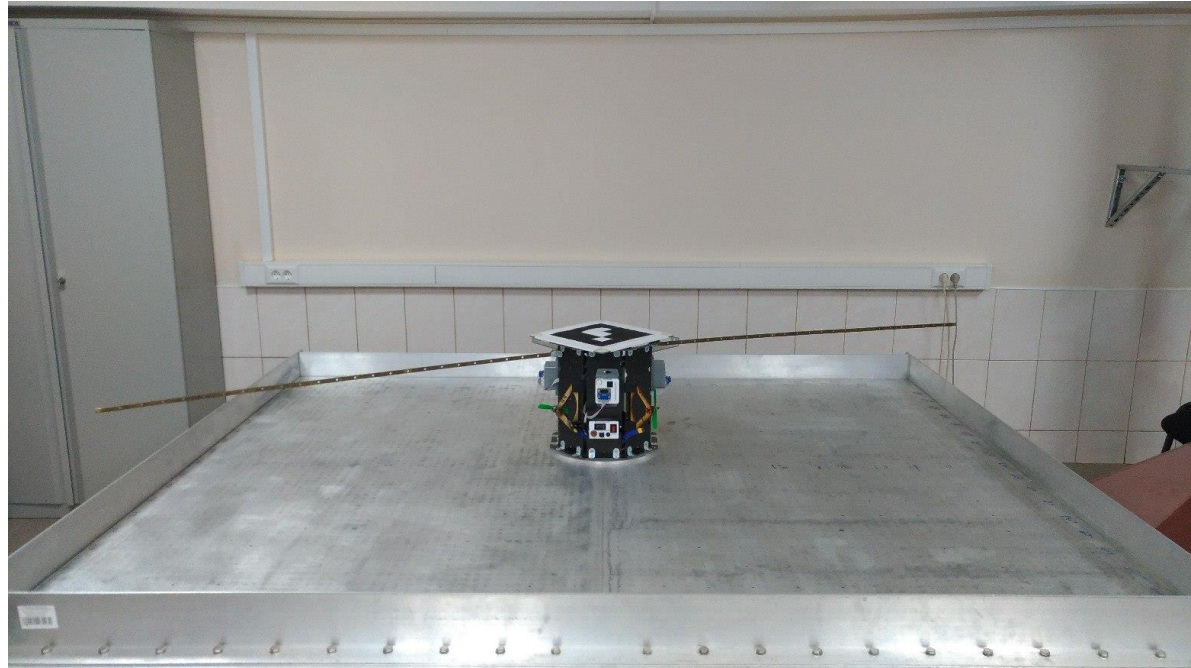
где  $\mathbf{P}_{red}$  находится из обобщ. уравнения Риккати :

$$\mathbf{0} = \mathbf{A}_{red}^T \mathbf{P}_{red} + \mathbf{P}_{red} \mathbf{A}_{red} + \mathbf{Q} - (\mathbf{P}_{red} \mathbf{B}_{red} + \mathbf{N}_{red}) \mathbf{R}^{-1} (\mathbf{B}_{red}^T \mathbf{P}_{red} + \mathbf{N}_{red}^T).$$

Метод изложен в работах *Sesak J.R.*

# Компьютерное моделирование. Параметры макета

- длина корпуса 0.15 м;
- ширина корпуса 0.15 м;
- высота корпуса 0.5 м;
- длина стержня 1.08 м;
- $J_{sz} = 0.1125 \text{ кг/м}^2$ ;
- максимальный момент, 0.4 Н·м ;
- максимальная сила, 4 Н.



# Компьютерное моделирование. Начальные условия

Положение центра масс основного тела макета на столе:  $R_{sx} = 0.5\text{м}$ ,  $R_{sy} = 0.4\text{м}$ .

Скорости центра масс основного тела макета:  $V_{sx} = 0.1\text{М/с}$ ,  $V_{sy} = 0.2\text{М/с}$ .

Начальная ориентация основного тела макета:  $\alpha = 30\text{град}$ .

Угловая скорость центра масс основного тела макета:  $\omega = 5\text{град/с}$ .

Угол и угловая скорость поворота в шарнире:  $\varphi = 5\text{град}$ ,  $\psi = 10\text{град/с}$ .

Амплитуда и скорость первой колебательной моды стержня:  $q_1 = 0.1$ ,  $\dot{q}_1 = 0\text{ 1/с}$ .

Шаг интегрирования = 0.01 с.

Шаг управления = 0.1 с.

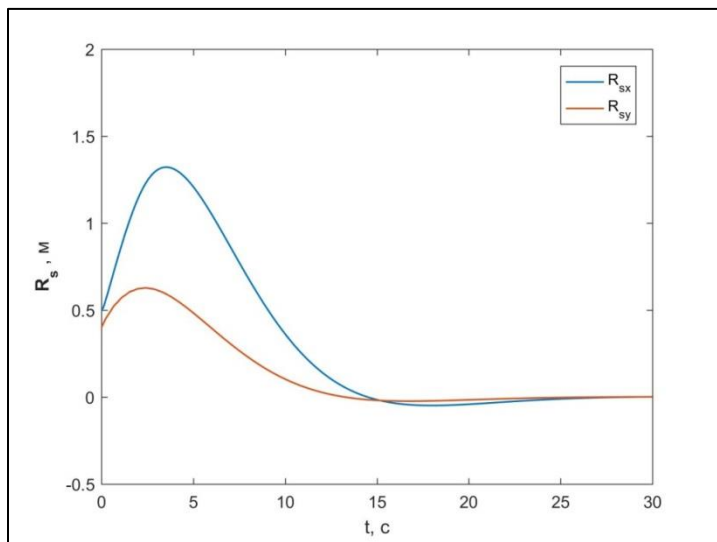
Количество мод = 1.

Требуемое конечное положение:  $\mathbf{x}_{eq} = \mathbf{0}_{10 \times 1}$ .

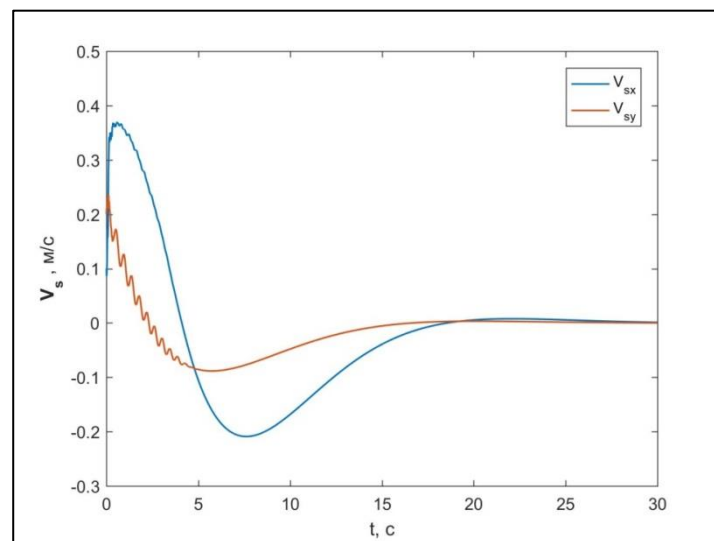
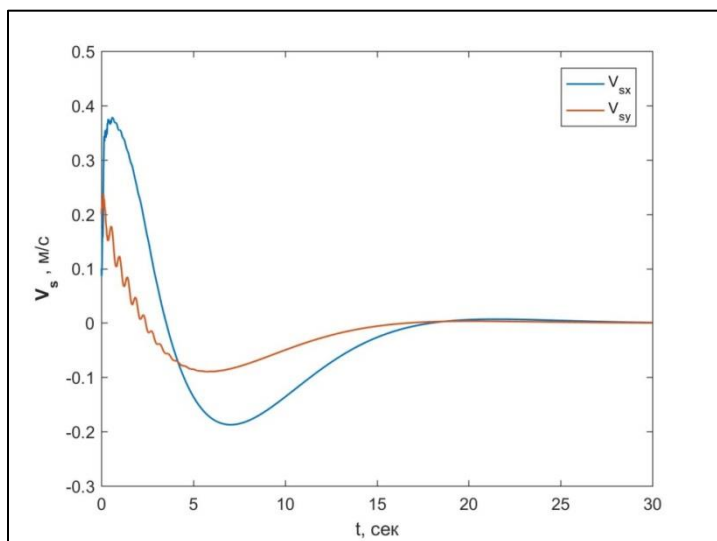
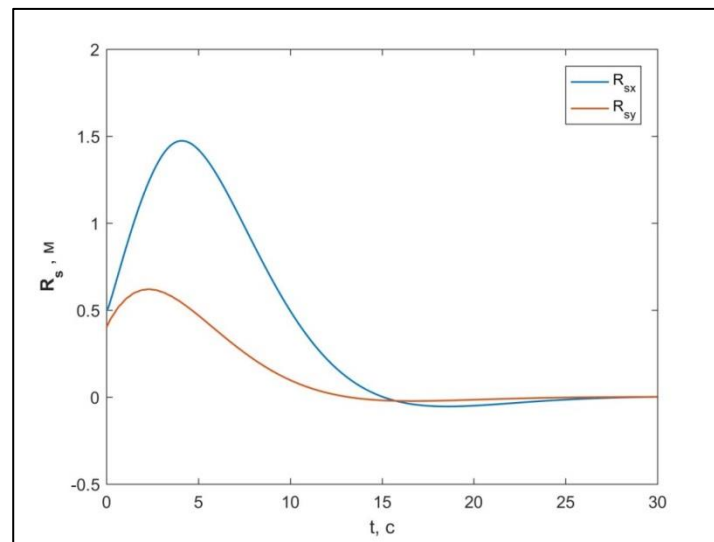
# Компьютерное моделирование

## Положение и скорость центра масс основного тела макета

LQR



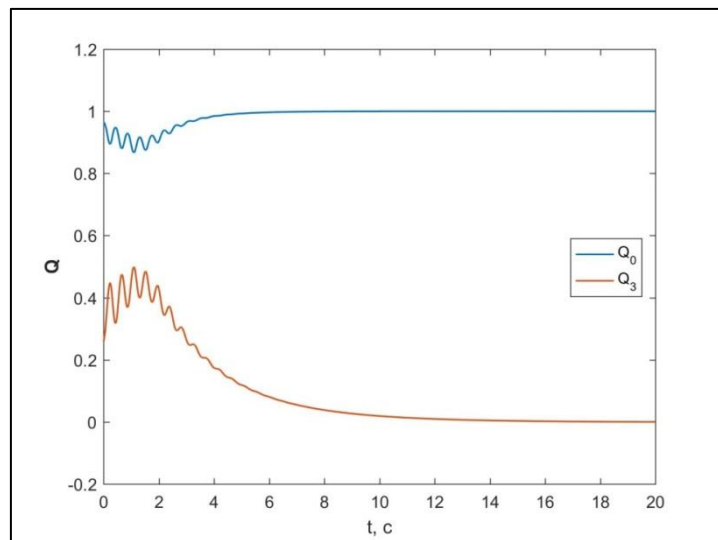
MESS



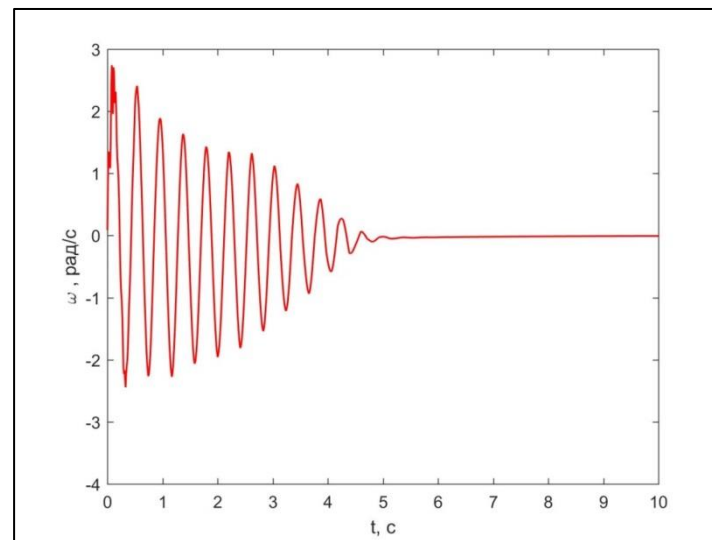
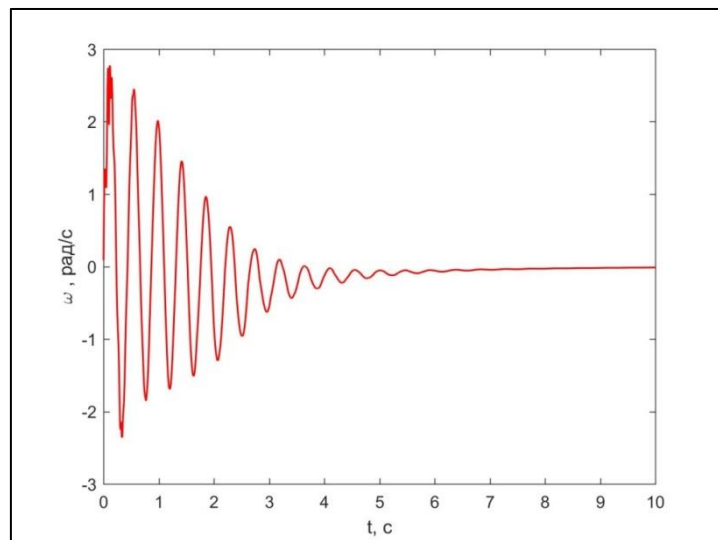
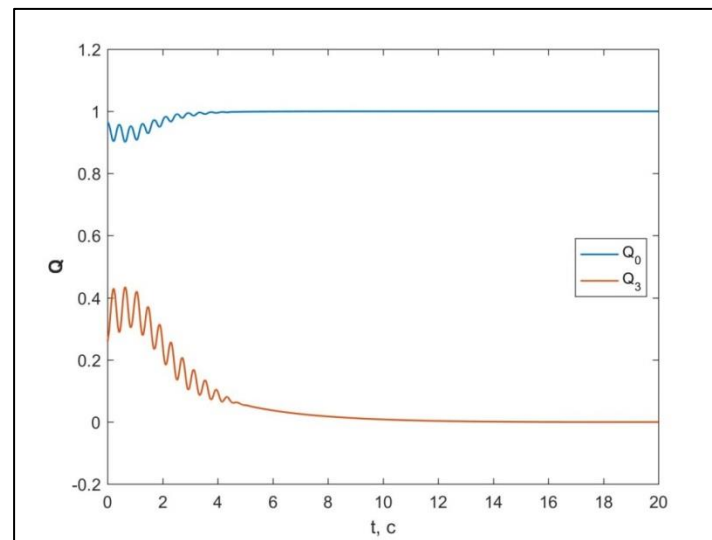
# Компьютерное моделирование

## Кватернион ориентации и угловая скорость основного тела макета

LQR



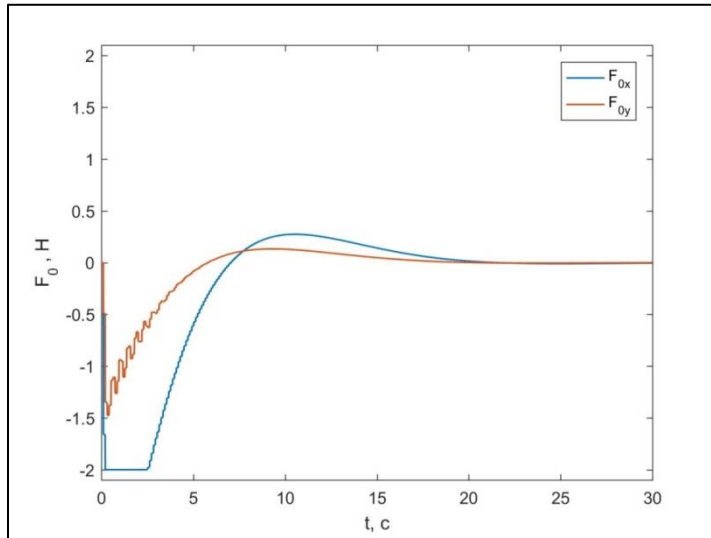
MESS



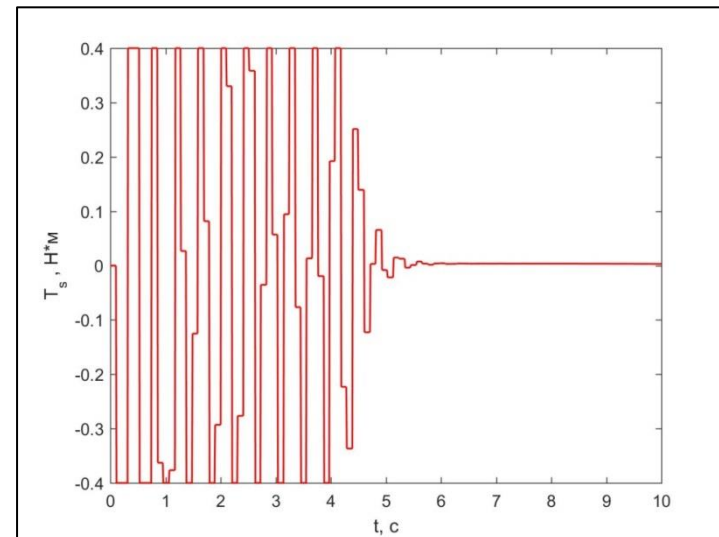
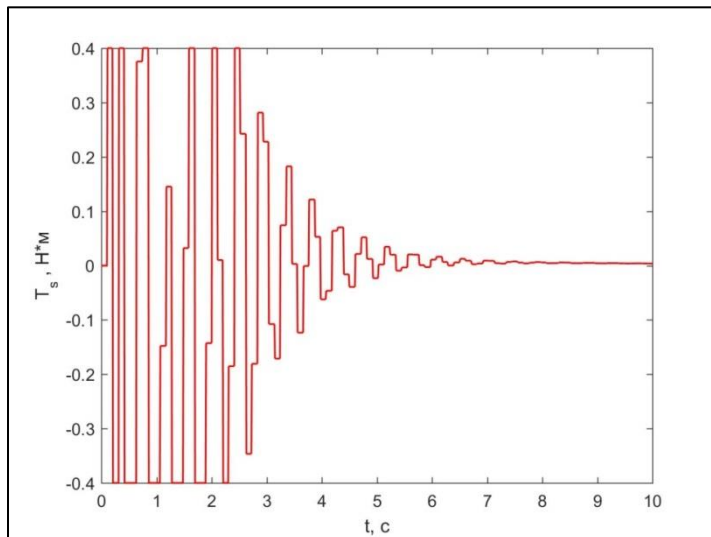
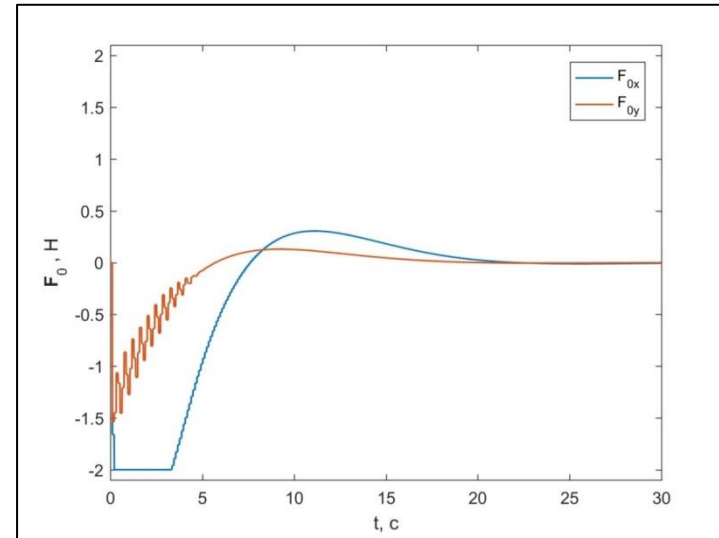


# Компьютерное моделирование Управление центром масс и угловой скоростью основного тела макета

LQR



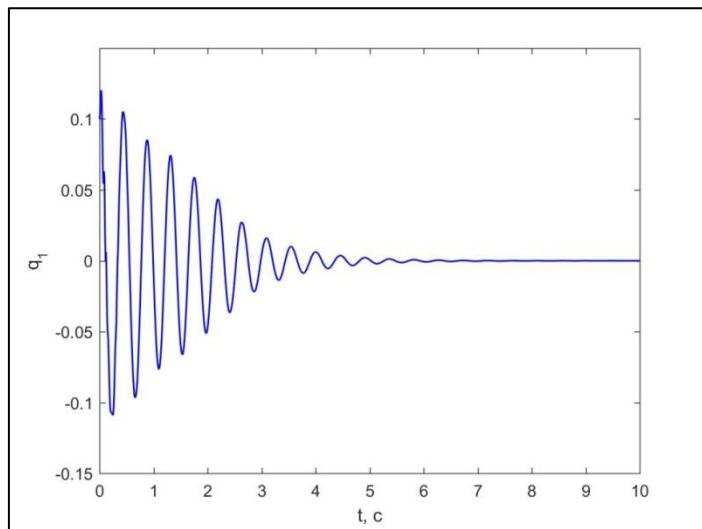
MESS



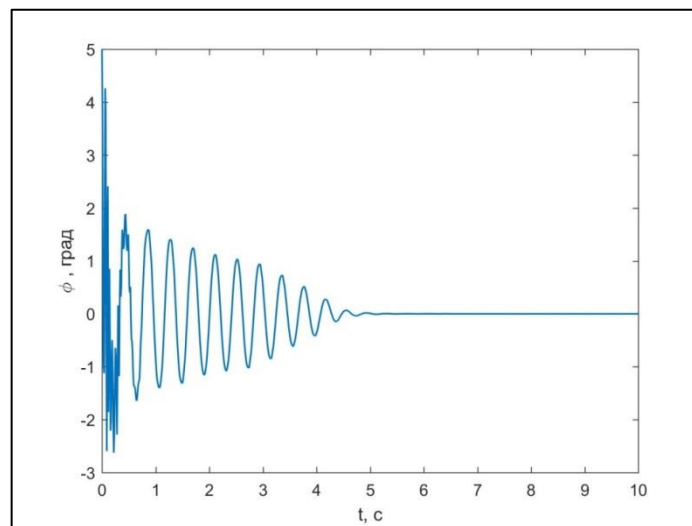
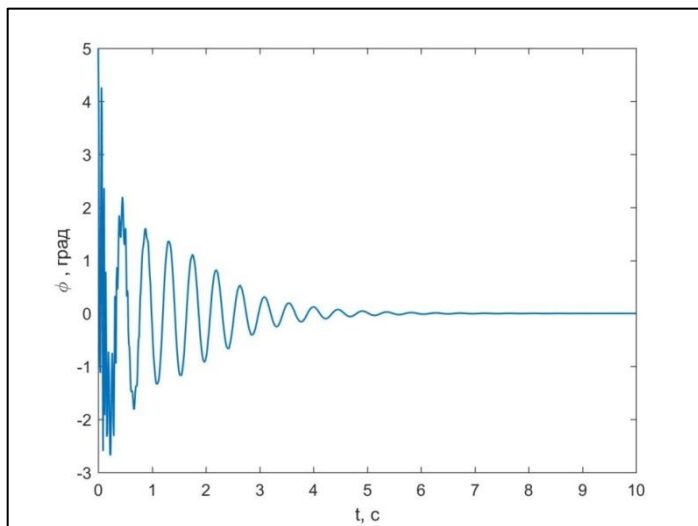
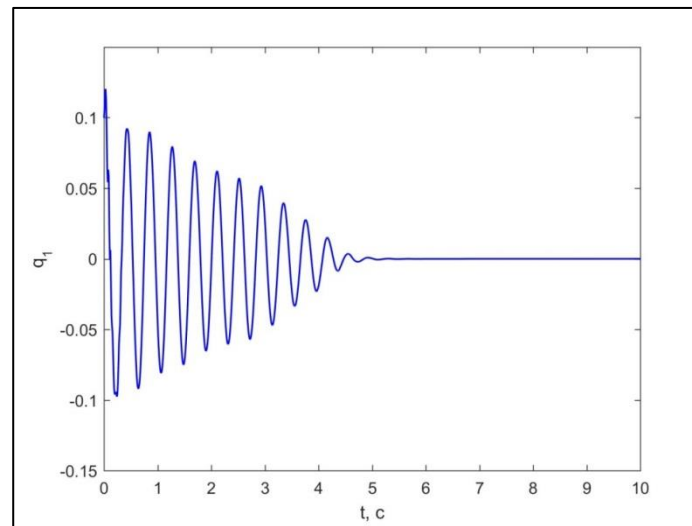
# Компьютерное моделирование

## Первая колебательная мода нежесткого элемента

LQR



MESS



# Заключение

- Построено линейное квадратичное управление (LQR), стабилизирующее макет в заданном положении и гасящее вибрации в нежестком элементе его конструкции, при помощи четырех вентиляторов.
- Реализован алгоритм (MESS), подавляющий возмущения в остаточных модах редуцированной модели системы, и продемонстрирована его эффективность для данной задачи, и предпочтительность по сравнению с LQR-алгоритмом.
- Проведено компьютерное моделирование с параметрами макета со стенда КОСМОС.
- Проведен анализ возможности реализации алгоритмов LQR и MESS на стенде КОСМОС.

# План дальнейшей работы

- Исследовать влияние управления колебательными модами с помощью устройств (например, пьезоактюаторов), расположенных на нежестком элементе. Определить их оптимальные положения на нежестком элементе.
- Исследовать влияние различных способов SCD параметризации и выбора весовых матриц на устойчивость системы в процессе SDRE управления.
- Исследовать влияние неучитываемых мод на поведение модели.
- Изучить робастные алгоритмы гашения вибраций в нежестком элементе. Реализовать НА/ЛА управление макетом.
- Верифицировать исследованные методы управления на стенде КОСМОС.

# Достижения

## Участие в грантах:

- 17-01-00449 А – Исследование орбитального и углового движения многоэлементных спутниковых систем
- 16-01-00634 А – Моделирование и управление движением упругих протяженных космических конструкций

## Готовящиеся препринты:

- Управление тремя спутниками в групповом полете при помощи электростатических сил
- Стабилизация макета с нежестким элементом конструкции

## Работы:

- Д.С. Иванов, Р.В. Досаев, С.А. Шестаков, А.И. Шестоперов, М.С. Кушнирук  
Управление групповым полетом спутников без затрат топлива. XI Всероссийский съезд по фундаментальным проблемам теоретической и прикладной механики, Казань, 20 – 24 августа 2015 года. С. 1555-1558.

## Участие в конференциях:

- Научная конференция МФТИ 56,57,58

Спасибо за внимание!

# Примечание. Получение собственных мод колебаний для нежесткого стержня с незакрепленными концами

$$EI \frac{\partial^4 y}{\partial x^4} + \rho A \frac{\partial^2 y}{\partial t^2} = 0 - \text{уравнение смещения точек стержня длины } L.$$

$E, I, \rho, A$  – константы

$y(x, t) = w(x)u(t)$  – метод разделения переменных

$$EI \frac{\partial^4 w(x)}{\partial x^4} u(t) + \rho A \frac{\partial^2 u(t)}{\partial t^2} w(x) = 0$$

$$\frac{EI}{\rho A} \frac{1}{w(x)} \frac{\partial^4 w(x)}{\partial x^4} = \frac{1}{u(t)} \frac{\partial^2 u(t)}{\partial t^2} = -\omega^2$$

$$\frac{\partial^4 w(x)}{\partial x^4} + \omega^2 \frac{\rho A}{EI} w(x) \triangleq \frac{\partial^4 w(x)}{\partial x^4} + k^4 w(x) = 0 - \text{характеристическое уравнение}$$

Пространственная часть смещения (собственные моды колебаний)

ищется в виде:

$$w(x) = C_1 \sin kx + C_2 \cos kx + C_1 \sinh kx + C_2 \cosh kx$$

# Примечание. Получение собственных мод колебаний для нежесткого стержня с незакрепленными концами

Граничные условия:

$$\begin{cases} w''(0) = 0 \\ w'''(0) = 0 \\ w''(L) = 0 \\ w'''(L) = 0 \end{cases} \Rightarrow \begin{cases} -C_2 + C_4 = 0 \\ -C_1 + C_3 = 0 \\ -C_1 \sin kL - C_2 \cos kL + C_1 \sinh kL + C_2 \cosh kL = 0 \\ -C_1 \sin kL + C_2 \cos kL + C_1 \sinh kL + C_2 \cosh kL = 0 \end{cases} \Rightarrow$$

$$\Rightarrow \begin{pmatrix} \sinh kL - \sin kL & \cosh kL - \cos kL \\ \cosh kL - \cos kL & \sinh kL + \sin kL \end{pmatrix} \begin{pmatrix} C_1 \\ C_2 \end{pmatrix} = \begin{pmatrix} 0 \\ 0 \end{pmatrix}$$

$$\det \begin{pmatrix} \sinh kL - \sin kL & \cosh kL - \cos kL \\ \cosh kL - \cos kL & \sinh kL + \sin kL \end{pmatrix} = 0 \Rightarrow (*) \cosh kL \cos kL = 1$$

Трансцендентное уравнение (\*) имеет бесконечное число решений.

Формы собственных мод колебаний имеют вид:

$$w_n(x) = (\sinh k_n x + \sin k_n x) + \frac{\sin k_n L - \sinh k_n L}{\cosh k_n L - \cos k_n L} (\cosh k_n x + \cos k_n x), \quad n = \overline{1, \infty}. \quad 24$$



# Примечание. Линеаризованные уравнения движения макета

$$\dot{\mathbf{x}} = \hat{\mathbf{S}}_{lin}^{-1} \hat{\mathbf{A}}_{lin} \mathbf{x} + \hat{\mathbf{S}}_{lin}^{-1} \hat{\mathbf{B}}_{lin} \mathbf{u} \triangleq \mathbf{A}_{lin}^{cont} \mathbf{x} + \mathbf{B}_{lin}^{cont} \mathbf{u}.$$

$$\mathbf{f}_{0\omega p} = \mathbf{p} \times \frac{m_p}{m} \mathbf{F}_O, \quad \mathbf{f}_{0\varphi p} = \mathbf{p}_2 \times \frac{m_p}{m} \mathbf{F}_O, \quad \mathbf{f}_{0p} = \sum_i m_{pi} \mathbf{A}_{pi}^T \left( \frac{\mathbf{F}_O}{m} - \frac{\mathbf{L}_{pi}}{m_{pi}} \right).$$

$$\mathbf{J}_0 = \mathbf{J}_s + \mathbf{J}_p + m_p \mathbf{K}(\mathbf{p}, \mathbf{p}_1) + m_p \mathbf{K}(\mathbf{p}_1, \mathbf{p}_2) - \frac{m_p^2}{m} \mathbf{K}(\mathbf{p}, \mathbf{p}), \quad \text{где } \mathbf{J}_p = \sum_i m_{pi} \mathbf{K}(\mathbf{r}_{pi}, \mathbf{r}_{pi}),$$

$$\mathbf{J}_{0\varphi p} = \mathbf{J}_p - \frac{m_p^2}{m} \mathbf{K}(\mathbf{p}_2, \mathbf{p}_2), \quad \mathbf{M}_p = \sum_i m_{pi} \mathbf{A}_{pi}^T \mathbf{A}_{pi} - \frac{1}{m} \mathbf{A}_p^T \mathbf{A}_p, \quad \text{где } \mathbf{A}_p = \sum_i m_{pi} \mathbf{A}_{pi},$$

$$\mathbf{S}_{0\omega\varphi p} = \mathbf{J}_p + m_p \mathbf{K}(\mathbf{p}_1, \mathbf{p}_2) - \frac{m_p^2}{m} \mathbf{K}(\mathbf{p}, \mathbf{p}_2), \quad \mathbf{S}_{0\omega p} = \sum_i m_{pi} (\mathbf{p}_1 + \mathbf{r}_{pi}) \times \mathbf{A}_{pi} - \frac{m_p}{m} \mathbf{p} \times \mathbf{A}_p,$$

$$\mathbf{S}_{0\varphi p} = \sum_i m_{pi} \mathbf{r}_{pi} \times \mathbf{A}_{pi} - \frac{m_p}{m} \mathbf{p}_2 \times \mathbf{A}_p.$$

# Примечание. Линеаризованные уравнения движения. Матрица при старших производных

$$\hat{\mathbf{S}}_{lin} = \begin{pmatrix} \mathbf{E}_{2 \times 2} & \mathbf{0}_{2 \times 2} & \mathbf{0}_{2 \times (4+2n)} \\ \mathbf{0}_{2 \times 2} & \mathbf{E}_{2 \times 2} & \mathbf{D}_{lin} \\ \mathbf{0}_{(4+2n) \times 2} & \mathbf{0}_{(4+2n) \times 2} & \mathbf{S}_{lin} \end{pmatrix},$$

$$\mathbf{D}_{lin} = \begin{pmatrix} 0 & -\frac{m_p}{m} p_y & \mathbf{0}_{1 \times n} & \frac{1}{m} \sum_i m_{pi} \mathbf{A}_{pi}^x & 0 & -\frac{m_p}{m} p_{2y} \\ 0 & \frac{m_p}{m} p_x & \mathbf{0}_{1 \times n} & \frac{1}{m} \sum_i m_{pi} \mathbf{A}_{pi}^y & 0 & \frac{m_p}{m} p_{2x} \end{pmatrix},$$

$$\mathbf{S}_{lin} = \begin{pmatrix} 1 & 0 & \mathbf{0}_{1 \times n} & \mathbf{0}_{1 \times n} & 0 & 0 \\ 0 & \mathbf{e}_{p1}^T \mathbf{J}_0 \mathbf{e}_{p1} & \mathbf{0}_{1 \times n} & \mathbf{e}_{p1}^T \mathbf{S}_{0\omega p} & 0 & \mathbf{e}_{p1}^T \mathbf{S}_{0\omega p} \mathbf{e}_{p1} \\ \mathbf{0}_{n \times 1} & \mathbf{0}_{n \times 1} & \mathbf{E}_{n \times n} & \mathbf{0}_{n \times n} & \mathbf{0}_{n \times 1} & \mathbf{0}_{n \times 1} \\ \mathbf{0}_{n \times 1} & \mathbf{S}_{0\omega p}^T \mathbf{e}_{p1} & \mathbf{0}_{n \times n} & \mathbf{M}_p & \mathbf{0}_{n \times 1} & \mathbf{S}_{0p\varphi p}^T \mathbf{e}_{p1} \\ 0 & 0 & \mathbf{0}_{1 \times n} & \mathbf{0}_{1 \times n} & 1 & 0 \\ 0 & \mathbf{e}_{p1}^T \mathbf{S}_{0\omega p} \mathbf{e}_{p1} & \mathbf{0}_{1 \times n} & \mathbf{e}_{p1}^T \mathbf{S}_{0p\varphi p} & 0 & \mathbf{e}_{p1}^T \mathbf{J}_{0\varphi p} \mathbf{e}_{p1} \end{pmatrix},$$

# Примечание. Линеаризованные уравнения движения. Матрицы состояния и управления

$$\hat{\mathbf{A}}_{lin} = \left( \begin{array}{c|c|c} \mathbf{0}_{2 \times 2} & \mathbf{E}_{2 \times 2} & \mathbf{0}_{2 \times (4+2n)} \\ \hline \mathbf{0}_{2 \times 2} & \mathbf{0}_{2 \times 2} & \mathbf{0}_{2 \times (4+2n)} \\ \hline \mathbf{0}_{(4+2n) \times 2} & \mathbf{0}_{(4+2n) \times 2} & \mathbf{A}_{lin} \end{array} \right), \quad \mathbf{A}_{lin} = \left( \begin{array}{cccccc} 0 & \frac{1}{2} & \mathbf{0}_{1 \times n} & \mathbf{0}_{1 \times n} & 0 & 0 \\ 0 & 0 & \mathbf{0}_{1 \times n} & \mathbf{0}_{1 \times n} & 0 & 0 \\ \mathbf{0}_{n \times 1} & \mathbf{0}_{n \times 1} & \mathbf{0}_{n \times n} & \mathbf{E}_{n \times n} & \mathbf{0}_{n \times 1} & \mathbf{0}_{n \times 1} \\ \mathbf{0}_{n \times 1} & \mathbf{0}_{n \times 1} & -\mathbf{\Omega} & \mathbf{0}_{n \times n} & \mathbf{0}_{n \times 1} & \mathbf{0}_{n \times 1} \\ 0 & 0 & \mathbf{0}_{1 \times n} & \mathbf{0}_{1 \times n} & 0 & 1 \\ 0 & 0 & \mathbf{0}_{1 \times n} & \mathbf{0}_{1 \times n} & -1 & 0 \end{array} \right),$$

$$\hat{\mathbf{B}}_{lin} = \left( \begin{array}{c|c} \mathbf{0}_{2 \times 2} & \mathbf{0}_{2 \times (1+n)} \\ \hline \frac{1}{m} \mathbf{E}_{2 \times 2} & \mathbf{0}_{2 \times (1+n)} \\ \hline -\mathbf{D}_{lin}^T & \mathbf{B} \end{array} \right), \quad \mathbf{B} = \left( \begin{array}{c} 0 \\ 1 \\ \mathbf{0}_{n \times 1} \\ \mathbf{0}_{n \times 1} \\ 0 \\ 0 \end{array} \right), \quad \mathbf{\Omega} = \text{diag}(\Omega_1^2, \Omega_2^2, \dots)$$